

01:03

©1993 г.

АВТОКОЛЕБАНИЯ В НЕИЗОТЕРМИЧЕСКОЙ ЖИДКОСТИ С ВНЕШНЕЙ ОБРАТНОЙ СВЯЗЬЮ

А.С.Рудый, А.И.Григорьев

Выполнен линейный анализ математической модели системы с отрицательной обратной связью через температурное поле сжимаемой жидкости. Показано, что при определенных параметрах системы в ней возникают автоколебания, а в жидкости распространяется термоакустическая волна, каждая компонента которой образована волнами температурной и акустической мод. Получены выражения для расчета полей температуры, скорости, давления и плотности жидкости, а также формулы для расчета критических параметров системы.

1. Согласно существующей классификации, распределенными принято называть такие автоколебательные системы, размеры которых сравнимы с длиной возбуждаемой в них волны. Имеется большое количество работ, посвященных исследованию устойчивости распределенных колебательных систем, описываемых уравнениями гиперболического типа. Однако с повышением степени интеграции и чувствительности физических приборов возникла проблема устойчивости релаксационных систем, описываемых уравнениями параболического типа. Действительно, функционирование подобных приборов сопровождается в силу второго начала термодинамики, диссипацией энергии и возникновением тепловых потоков, создающих паразитную тепловую обратную связь. Например, тепловая обратная связь между мощными выходными каскадами и термочувствительными входами интегральной микросхемы может стать причиной возникновения автоколебаний низкой частоты. Аналогичные явления наблюдаются и в жидких средах. Так, в жидкометаллических источниках ионов при некоторой величине приложенной разности потенциалов появляются пульсации тока [1]. Тепловые автоколебания далеко не всегда имеют паразитный характер и могут использоваться, например, для определения теплофизических характеристик материалов [2]. В настоящей работе исследуются закономерности автоколебательного возбуждения термоакустических волн в неизотермической жидкости и возможности их практического применения. Полученные результаты могут оказаться полезными для анализа периодических процессов в жидкостных масс-спектрометрах и жидкометаллических источниках ионов, в которых рабочей поверхностью служит нагреваемая пленка жидкости, а также для разработки новых методов определения теплофизических и механических свойств жидкостей.

Автоколебания в системах релаксационного типа с обратной связью через температурное поле твердого тела и двухфазной среды рассматривались в [3,4]. В работе [4] предполагалось, что одна из фаз может находиться в жидком агрегатном состоянии, но при этом ее термоупругие и реологические свойства не принимались во внимание. Тем не менее их учет необходим, так как с ними связан конвективный механизм переноса энергии, реализующийся одновременно с теплопроводностью. Даже в рассматриваемой ниже одномерной системе, когда все термодинамические переменные — функции одной координаты $x \parallel g$ и свободная конвекция невозможна, периодический нагрев жидкости вызывает появление температурной волны и связанной с ней волны плотности. Если жидкость неизотермическая, то волна плотности возбуждает температурную волну с тем же законом дисперсии, что и у акустической волны. Другими словами, периодическое изменение удельного объема в любой точке жидкости, где есть градиент температуры, вызывает осцилляции температуры в этой точке, а пространственная зависимость фазы колебаний температуры — температурную волну с законом дисперсии и затухания акустической волны. В свое время для поперечных волн такого типа был введен термин “термоконвективная волна” [5]. Мы будем использовать термин “термоакустическая волна”, так как он точнее отражает механизм распространения волны плотности и связанной с ней продольной температурной волны в одномерной системе. Как будет показано ниже, такие волны могут существенным образом влиять на параметры и условия возбуждения автоколебаний.

2. Дальнейшее рассмотрение проведем на примере одномерной идеализированной системы (рис. 1), состоящей из слоя жидкости l с неподвижными верхней и нижней границами. Пусть нижняя граница находится при постоянной температуре, а к верхней от нагревателя 2 подводится тепловой поток, удельная величина которого q регулируется следующим образом. Напряжение дифференциальной температуры $\varphi(x_0, t) \sim \varepsilon_1 \Delta U + \varepsilon_2 \Delta U^2 + \dots$, где $\Delta U = U(x_0, t) - U(\delta)$ — разность температур термостата $U(\delta)$ и жидкости $U(x_0, t)$, сравнивается с опорным напряжением φ_0 источника 4 . Для этого токи источника и термопары вычитаются на входном сопротивлении регулятора 5 , а разностный сигнал $\Delta \varphi = \varphi_0 - \varphi(x_0, t)$, называемый сигналом ошибки, после усиления выходными каскадами регулятора поступает на нагреватель. Систему автоматического регулирования, в которой управляющее воздействие, в данном случае градиент температуры $\nabla U = -q/\lambda$, является функцией сигнала ошибки $q = f(\Delta \varphi)$, принято называть замкнутой системой. Ее элементы (регулятор, термопара и нагреватель) образуют петлю обратной связи, замкнутую через температурное поле жидкости, которую мы будем считать вязкой и малосжимаемой.

Движение и теплоперенос в рассматриваемом слое жидкости описываются уравнениями Навье–Стокса

$$\partial V \partial t + (V \nabla) V = -\nabla P + Dg + \eta \Delta V + \left(\xi + \frac{1}{3} \eta \right) \nabla (\nabla V), \quad (1)$$

неразрывности

$$\frac{\partial \rho}{\partial t} = -\operatorname{div} DV, \quad (2)$$

состояния

$$P = P(D, U) \quad (3)$$

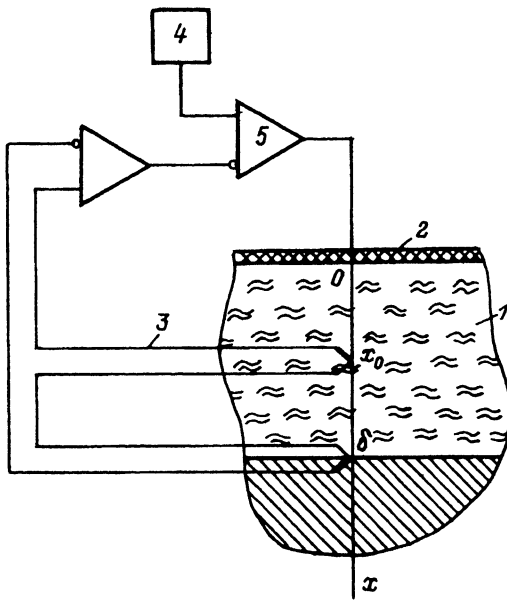


Рис. 1. Система автоматического регулирования с петлей обратной связи, замкнутой через температурное поле жидкости.

и теплопереноса

$$Dc_p \left[\frac{\partial U}{\partial t} + (\mathbf{V}\nabla)U \right] = \lambda \Delta U \quad (4)$$

с граничными условиями

$$\begin{aligned} \text{при } x = 0 \quad \mathbf{V} = 0; \quad \lambda \nabla U = -q, \\ \text{при } x = \delta \quad \mathbf{V} = 0; \quad U = u_0, \end{aligned} \quad (5)$$

где $U = U(x, t)$, $P = P(x, t)$, $V = V(x, t)$, $D = D(x, t)$ — температура, давление, скорость и плотность жидкости, которые являются в общем случае функциями координат и времени: c_p , λ , η и ξ — удельная теплоемкость и коэффициенты теплопроводности, динамической и объемной (второй) вязкости, они полагаются константами.

Условие $\lambda \nabla U = -q$ будем называть условием обратной связи, так как оно связывает управляющее воздействие ∇U с сигналом ошибки $\Delta \varphi$.

Введем для равновесных значений температуры, давления и плотности обозначения u_0 , p_0 и ρ_0 соответственно. В наиболее общей ситуации отклонение каждой из анализируемых величин, за исключением скорости, от равновесного значения будем представлять в виде суперпозиции стационарной (обозначенной звездочкой) и нестационарной (без индекса) компонент

$$\begin{aligned} U &= u_0 + u_*(x) + u(x, t), \\ D &= \rho_0 + \rho_*(x) + \rho(x, t), \\ P &= P_0 + p_*(x) + p(x, t), \end{aligned}$$

$$V = v(x, t),$$

так как

$$V_0 = v_* = 0. \quad (6)$$

Поскольку далее рассматриваются только малые отклонения переменных u , ρ , p , v от стационарных значений, то функцию регулятора $f(\Delta\varphi)$ можно представить в виде $f[\varphi_0 - \varepsilon u_*(x_0) - \varepsilon u(x_0, t)]$, где ε — коэффициент преобразования температуры, и разложить ее в ряд по степеням $u(x_0, t)$, ограничившись линейными членами. Тогда условие обратной связи примет вид

$$\begin{aligned} \lambda \frac{\partial u_*}{\partial x} \Big|_{x=0} &= -f[\varphi_0 - \varepsilon u_*(x_0)], \\ \lambda \frac{\partial u}{\partial x} \Big|_{x=0} &= \frac{\partial f}{\partial u} [\varphi_0 - \varepsilon u_*(x_0)] u(x_0, t). \end{aligned} \quad (7)$$

При подстановке (6), (7) в систему уравнений (1)–(5) последняя распадается на две системы уравнений: стационарных

$$\begin{aligned} \frac{d^2 u_*}{dx^2} &= 0; \\ \beta \frac{d\rho_*}{dx} - g\rho_* &= \gamma C_0 + \rho_0 g, \\ p_* &= \beta\rho_* + \gamma u_* \end{aligned} \quad (8)$$

с граничными условиями

$$\begin{aligned} u_*(\delta) &= 0; \quad \frac{\partial u_*}{\partial x} \Big|_{x=0} = -f[\varphi_0 - \varepsilon u_*(x_0)]; \\ p_*(\delta) - p_*(0) &= Mg/S \end{aligned}$$

и нестационарных

$$\begin{aligned} (\rho_0 + \rho_*) \left(\frac{\partial v}{\partial t} + v \frac{\partial v}{\partial x} \right) + \rho \left(\frac{\partial v}{\partial t} + v \frac{\partial v}{\partial x} \right) &= -\frac{\partial p}{\partial x} + \left(\xi + \frac{4}{3}\eta \right) \frac{\partial^2 v}{\partial x^2} + g\rho, \\ c_p(\rho_0 + \rho_*) \left[\frac{\partial u}{\partial t} + v \frac{\partial}{\partial x}(u_* + u) \right] &= \lambda \frac{\partial^2 u}{\partial x^2}, \\ \frac{\partial \rho}{\partial t} + (\rho_0 + \rho_*) \frac{\partial v}{\partial x} + v \frac{\partial}{\partial x}(\rho_0 + \rho_*) + v \frac{\partial \rho}{\partial x} + \rho \frac{\partial v}{\partial x} &= 0, \\ p &= \beta\rho + \gamma u \end{aligned} \quad (9)$$

с граничными условиями

$$\begin{aligned} u(\delta) &= 0; \quad \frac{\partial u}{\partial x} \Big|_{x=0} = \frac{\partial f}{\partial u} [\varphi_0 - \varepsilon u_*(x_0)] u(x_0, t), \\ v(0) &= v(\delta) = 0. \end{aligned}$$

Решения первой очевидны

$$\begin{aligned} u_* &= C_0(\delta - x); \\ \rho_* &= (C_0\gamma/g + \rho_0) [\exp(g(x - x_1)/\beta) - 1], \\ p_* &= \beta\rho_* + \gamma u_*. \end{aligned} \quad (10)$$

Постоянная C_0 определяется как корень первого из уравнений (7), если задан вид функции f . Постоянная x_1 — координата точки, в которой $\rho_*(x)$ меняет знак, также может быть выражена через параметры рассматриваемой системы, если известна функция f . Однако для дальнейшего анализа конкретные значения C_0 и x_1 несущественны.

В виду малости амплитуд нестационарных компонент решений (6) система нестационарных уравнений может быть линеаризована в окрестности стационарных решений (9)

$$\begin{aligned} (\rho_0 + \rho_*) \frac{\partial v}{\partial t} &= -\frac{\partial p}{\partial x} + g\rho + \left(\xi + \frac{4}{3}\eta\right) \frac{\partial^2 v}{\partial x^2}, \\ \frac{\partial u}{\partial t} + \frac{\partial u_*}{\partial u} v &= \frac{\lambda}{c_p(\rho_0 + \rho_*)} \frac{\partial^2 u}{\partial x^2}, \\ \frac{\partial \rho}{\partial t} + (\rho_0 + \rho_*) \frac{\partial v}{\partial x} + \frac{\partial \rho_*}{\partial x} v &= 0, \\ p &= \beta\rho + \gamma u, \\ \left. \frac{\partial u}{\partial x} \right|_{x=0} &= \frac{A}{x_0} u(x_0, t); \quad u(\delta) = 0; \\ v(0) &= v(\delta) = 0, \end{aligned} \quad (11)$$

где

$$A = x_0 \frac{\partial f}{\partial u} [\varphi_0 - \varepsilon u_*(x_0)]$$

— обобщенный коэффициент усиления системы, а постоянные

$$\beta = \left. \frac{\partial p}{\partial D} \right|_{\substack{D=\rho_0 \\ v=u_0}} \quad \text{и} \quad \gamma = \left. \frac{\partial p}{\partial u} \right|_{\substack{D=\rho_0 \\ v=u_0}}$$

выражаются через модуль объемной упругости K и коэффициент объемного расширения κ как $\beta = K/\rho_0$ и $\gamma = K\kappa$. Переменные коэффициенты уравнений системы (11) существенным образом зависят от координаты x только для толстого слоя сжимаемой жидкости. Так как в данном случае $\delta \leq 10^{-1}$ м, $\beta \sim 10^7$ м²/с², то $g\delta/\beta \ll 1$ и в (10) можно положить $\rho_* = 0$, а $\partial\rho_*/\partial x = (\rho_0 + C_0\gamma/g)g/\beta$.

3. Исследуем условия возбуждения автоколебаний в рассматриваемой системе. Решения задачи (11) будем искать в виде $u(x, t) = u(x) \exp(i\omega t)$, $v(x, t) = v(x) \exp(i\omega t)$, $\rho(x, t) = \rho(x) \exp(i\omega t)$. Учитывая, что для реальной жидкости $\omega \ll K/(\xi + 4\eta/3)$, а также сделанные выше

допущения, задачу (11) преобразуем в однородную систему с постоянными коэффициентами

$$\frac{d^2 v}{dx^2} + C_0 \kappa \frac{dv}{dx} + \frac{\rho_0}{K} \left[\omega^2 - \frac{\rho_0 g^2}{K} - C_0 \kappa g \right] v = i \omega \kappa \frac{\partial u}{\partial x}, \quad (12)$$

$$\frac{\partial^2 u}{\partial x^2} - \frac{i \omega}{a} u = -\frac{C_0}{a} v, \quad (13)$$

где $a = \lambda / c_p \rho_0$ — коэффициент температуропроводности.

Ее частые решения v и $u \sim \exp(\lambda_i x)$, а λ_i определяются как корни характеристического уравнения

$$(\lambda^2 - i2k^2) \left[\lambda(\kappa C_0 - \lambda) + \frac{\rho_0}{K} \left(\omega^2 - \frac{\rho_0 g^2}{K} - g \kappa C_0 \right) \right] + i2k^2 \kappa C_0 \lambda = 0, \quad (14)$$

где $k = \sqrt{\omega/2a}$.

Так как $\kappa \sim 10^{-4} \text{K}^{-1}$, то при градиенте температуры $C_0 < 10^3 \text{K/м}$ параметр κC_0 можно считать малым. Поскольку выписать точные решения уравнения (14) не представляется возможным, то целесообразно разложить λ_i в ряд

$$\lambda_i = \lambda_{0i} + \kappa C_0 \lambda_{1i}^2 + \kappa^2 C_0^2 \lambda_{2i} + \dots \quad (15)$$

по степеням параметра κC_0 . Сгруппировав члены при одинаковых степенях κC_0 , получим рекуррентную последовательность уравнений для определения $\lambda_{0i}, \lambda_{1i}, \dots$. Ограничившись первыми двумя членами последовательности, найдем

$$\lambda_1 = (1+i)k - \frac{iC_0 \kappa k^2}{(1+i) - \frac{\rho_0}{K} \left[\omega^2 - \frac{\rho_0 g^2}{K} \right]},$$

$$\lambda_2 = -(1+i)k - \frac{iC_0 \kappa k^2}{(1+i) - \frac{\rho_0}{K} \left[\omega^2 - \frac{\rho_0 g^2}{K} \right]},$$

$$\lambda_3 = i \sqrt{\frac{\rho_0}{K} \left(\omega^2 - \frac{\rho_0 g^2}{K} \right)} - \frac{\kappa C_0}{2} \left[1 + \frac{i2k^2}{\frac{\rho_0}{K} \left(\omega^2 - \frac{\rho_0 g^2}{K} \right) - i2k^2} + \frac{1}{\sqrt{\frac{K\omega^2}{\rho_0 g^2} - 1}} \right],$$

$$\lambda_4 = -i \sqrt{\frac{\rho_0}{K \left(\omega^2 - \frac{\rho_0 g^2}{K} - i2k^2 \right)}} - \left(\frac{1}{\sqrt{\frac{K\omega^2}{\rho_0 g^2} - 1}} \right). \quad (16)$$

Рассмотрим случай низкочастотных автоколебаний, когда $g\sqrt{\rho_0/K} < \omega \ll K/\rho_0 a$, что не противоречит наложенному ранее условию $\omega \ll K/\rho_0 \nu$, так как температуропроводность a и динамическая вязкость

$\nu = (\xi + 4\eta/3)/\rho_0$ одного порядка. Разделяя в выражениях (14) действительные и мнимые части, вводя обозначения $\operatorname{Re} \lambda_i = \lambda'_i$, $\operatorname{Im} \lambda_i = \lambda''_i$ и пренебрегая членами второго порядка малости, получим

$$\begin{aligned} \lambda'_1 &= k(1 - \kappa C'_0/2k); & \lambda''_1 &= k, \\ \lambda'_2 &= -k(1 + \kappa C'_0/2k); & \lambda''_2 &= -k, \\ \lambda'_3 &= 0; & \lambda''_3 &= \omega \sqrt{\rho_0/K}(1 - \kappa C'_0 g/2\omega^2), \\ \lambda'_4 &= 0; & \lambda''_4 &= -\omega \sqrt{\rho_0/K}(1 - \kappa C'_0 g/2\omega^2). \end{aligned} \quad (17)$$

Таким образом, решения системы уравнения (12), (13)

$$\begin{aligned} u(x) &= \sum_{i=1}^4 C_i \exp(\lambda_i x), \\ v(x) &= \frac{a}{C'_0} \sum_{i=1}^4 C_i (i2k^2 - \lambda_i^2) \exp(\lambda_i x) \end{aligned} \quad (18)$$

описывают термоакустические волны, распространяющиеся в жидкости как в прямом $\lambda'_i < 0$, так и в обратном $\lambda''_i > 0$ направлениях. Параметры λ'_i имеют смысл коэффициентов затухания; а λ''_i — волновых чисел термоакустических волн. В изотермической жидкости $\lambda'_1 = \lambda''_1 = -\lambda'_2 = -\lambda''_2 = k$, где k — коэффициент затухания и волновое число температурной волны. При тех же условиях $\lambda''_3 = -\lambda''_4 = \omega/v_\varphi$, где $v_\varphi = \varphi K/\rho_0$ — фазовая скорость акустической волны. Следовательно, термоакустическая волна — это суперпозиция волн, которые можно рассматривать как волны температурной и акустической мод.

Перейдем к исследованию условий возбуждения и расчету параметров автоколебаний. Ввиду быстрого затухания волны температурной моды в точке $x = \delta$ будем учитывать только акустическую компоненту обоих решений (18). Тогда граничные условия для температуры примут вид

$$C_3 \exp(-\lambda_4 \delta) + C_4 \exp(\lambda_4 \delta) = 0,$$

$$C_2 \lambda_2 - C_3 \lambda_4 + C_4 \lambda_4 = \frac{A}{X_0} [C_2 \exp(\lambda_2 x_0) + C_3 \exp(-\lambda_4 x_0) + C_4 \exp(\lambda_4 x_0)]. \quad (19)$$

Исключив из условий (19) C_3 и добавив к ним условие $v(0) = 0$, придем к следующим соотношениям между комплексными амплитудами мод:

$$\begin{aligned} C_2 [\lambda_2 x_0 - A \exp(\lambda_2 x_0)] + C_4 2i \exp(i\lambda_4'' \delta) [A \sin \lambda_4'' (\delta - x_0) + \lambda_4'' x_0 \cos \lambda_4'' \delta] &= 0, \\ C_2 (i2k^2 - \lambda^2) + C_4 2(2k^2 + i\lambda_4''^2) \exp(i\lambda_4'' \delta) \sin(\lambda_4'' \delta) &= 0. \end{aligned} \quad (20)$$

Из детерминанта системы (20), разделив в нем действительную и мнимую части, получим два условия для обобщенного коэффициента усиления A

$$A = \frac{(\lambda_4''^2 \lambda_2' x_0 + 2k^2 \lambda_2'' x_0) \sin \lambda_4'' \delta + \lambda_4'' x_0 (\lambda_2'^2 + \lambda_2''^2) \cos \lambda_4'' \delta}{\exp(\lambda_2' x_0) (\lambda_4''^2 \cos \lambda_2'' x_0 + 2k^2 \sin \lambda_2'' x_0) - (\lambda_2'^2 - \lambda_2''^2) \sin \lambda_4'' (\delta - x_0)},$$

$$A = \frac{(\lambda_4''^2 \lambda_2'' x_0 - 2k^2 \lambda_2'' x_0) \sin \lambda_4'' \delta - 2\lambda_4'' x_0 (k^2 - \lambda_2'' \lambda_2'') \cos \lambda_4'' \delta}{\exp(\lambda_2'' x_0) (\lambda_4''^2 \sin \lambda_2'' x_0 - 2k^2 \cos \lambda_2'' x_0) + 2(k^2 - \lambda_2'' \lambda_2'') \sin \lambda_4'' (\delta - x_0)}. \quad (21)$$

Исключая A из уравнений (19) и принимая во внимание

$$\lambda_2'^2 - \lambda_2''^2 \approx \kappa C_0 k, \quad 2(k^2 - \lambda_2' \lambda_2'') = -\kappa C_0 k \quad (22)$$

и $\lambda_4''^2 \ll 2k^2$, приходим к частотному уравнению

$$\begin{aligned} & (2k^2 \sin \lambda_4 \delta + \kappa C_0 \lambda_4 \cos \lambda_4 \delta) (\cos \lambda_2'' x_0 - \sin \lambda_2'' x_0) - \\ & - \kappa C_0 k \sin \lambda_4 \delta \sin \lambda_2'' x_0 = \frac{1}{2} \kappa^2 C_0^2 \exp(-\lambda_2' x_0) \sin \lambda_4'' (\delta - x_0). \end{aligned} \quad (23)$$

Из всего спектра частот, определяемых уравнением (23), возбуждается та частота, которая соответствует минимальному (по модулю) критическому значению коэффициента усиления $A = A_c$. Как будет показано ниже, минимальному значению $A_c = A_{c1}$ соответствует самая низкая частота спектра ω_{c1} , а следующим за ним нескольким значениям A_{ci} — частоты ω_{ci} , для которых можно положить $\sin \lambda_4 \delta \approx \lambda_4 \delta$, $\cos \lambda_4 \delta \approx 1$. Вводя обозначения $x_0/\delta = \eta$, $k\delta = \nu$, $\kappa C_0 \delta = \xi$, преобразуем уравнение (23) к виду

$$\begin{aligned} \Psi(\xi, \nu) \equiv \cos \eta \nu + [1 + \xi \nu / (2\nu^2 + \xi)] \sin \eta \nu - \\ - \frac{\xi^2 (1 - \eta) \exp \eta (\nu + \xi/2)}{2(2\nu^2 + \xi)} = 0. \end{aligned} \quad (24)$$

Рельеф функции (24) при $\eta = 1/2$ показан на рис. 2. Корнями уравнения являются абсциссы точек пересечения кривых $\Psi(\nu, \xi) = 0$ с прямыми $\xi = \text{const}$. При $\xi = 0$ уравнение (24) совпадает с приведенным в [3] уравнением

$$\text{tg } \eta \nu = -1 \quad (25)$$

для системы с полуограниченным твердым телом в цепи обратной связи, а при $\xi > 1$ (24) вообще не имеет решений. В случае твердого тела уравнение (25) имеет бесконечное множество корней $\nu_1 < \nu_2 < \nu_3 \dots$, при подстановке которых в условие для A (21) последнее дает критические значения обобщенного коэффициента усиления $|A_{c1}| < |A_{c2}| < |A_{c3}| \dots$. Из них нечетные соответствуют системе с отрицательной, а четные — с положительной обратной связью. Обобщенный коэффициент усиления A может существенно изменяться только за счет какого-либо входящего в него регулируемого параметра μ . Если при изменении μ от 0 до ∞ обобщенный коэффициент A также меняется от 0 до ∞ и при этом проходит критические значения A_{ci} в последовательности A_{c1}, A_{c2}, \dots , то автоколебания частоты

$$\omega_i = 2a\nu_i^2 / \delta^2 \quad (26)$$

возбуждаются в той же последовательности $\omega_1, \omega_2, \dots$ (имеется в виду линейная модель, а не реальная система, в которой возможна только первая частота). Т.е. в твердом теле частота ω_i не может возбудиться раньше ω_j , если $i > j$. В жидкости этот порядок не является обязательным, по

крайней мере при $\xi \ll 1$, когда уравнения (21) могут быть преобразованы к виду

$$A = \frac{\nu \exp(\eta\nu)}{\sin(\eta\nu)} \lambda_4'' x_0. \quad (27)$$

Например, при $\xi = 10^{-5}$ уравнение (24) имеет следующие корни: $\nu_1 = 4.7171$, $\nu_2 = 11.007$, $\nu_3 = 17.265 \dots$, которые при подстановке в (27) дают $A_{c1} = 70.717 \lambda_4'' x_0$, $A_{c2} = -3842.5 \lambda_4'' x_0$, $A_{c3} = 136010 \lambda_4'' x_0, \dots$ Допустим, что λ_4'' всегда отрицательно и будем изменять μ , пока A не достигнет первого критического значения A_{c1} , при котором в системе возникнут автоколебания частоты $\omega_1 = 1 \mu \nu_1^2 / \delta^2$. Если и дальше изменять μ , то следующей при $A = A_{c3}$ (так как в системе с отрицательной обратной связью $\partial f(0)/\partial \mu > 0$ и, следовательно, $A > 0$) возбудилась бы частота ω_3 . Но, как правило, в реальных системах при $A > A_{c1}$ амплитуда первой частоты возрастает настолько, что система выходит далеко за рамки рассматриваемого здесь линейного приближения. При $\lambda_4'' < 0$ наименьшим положительным значением A будет A_{c2} и автоколебания возникнут на частоте ω_2 . Из соотношений (17), (27) легко увидеть, что возможны ситуации, при которых $A_{c2}/A_{c1} = 1$, т.е. возможны двухчастотные автоколебания. Расчет показывает, что их необходимым условием является следующее соотношение между параметрами системы $\xi \delta^3 = 7984 a^2$. Отметим также, что на частоте $\omega_0 = \sqrt{\kappa C_0 g / 2}$ коэффициент $A = 0$. Это означает, что если в жидкости за счет внешнего источника тепла поддерживается градиент температуры C_0 , то в ней возможны колебания частоты ω_0 , даже если нет внешней обратной связи. Необходимо оговориться, что данное утверждение основано на зависимостях, полученных без учета вязких членов в дисперсионных соотношениях (16).

Из рис. 2 следует, что по мере возрастания параметра ξ корни уравнения (24) сближаются, а модули соответствующих A_{ci} растут. При вырождении корня смежные A_{ci} обращаются в бесконечность и периодическое решение пропадает. Если в рассматриваемой системе коэффициент усиления по постоянному сигналу не равен нулю, то градиент температуры $C_0 = C_0(A(\mu))$ и, следовательно, ξ не является независимым параметром. Очевидно, что при положительной обратной связи C_0 очень велико и уравнение (24) может вообще не иметь корней. Если же обратная связь отрицательна, то с ростом бифуркационного параметра μ критическое значение обобщенного коэффициента усиления A_c также растет, но, как показывает расчет, $(dA_c/dC_0)(dC_0/d\mu) \ll dA/d\mu$. Поскольку при малых значениях ξ корни ν_1 и ν_2 слабо зависят от ξ , то приведенные выше замечания относительно последовательности возбуждения частот будут справедливы и в этом случае. В остальных случаях поведение рассматриваемой системы сходно с поведением системы [3], но здесь A_c , а следовательно, и устойчивость системы существенно ниже.

В результате линейного анализа математической модели системы, в которой обратная связь осуществляется через температурное поле жидкости, показано, что при определенных значениях параметров системы в ней могут возникать автоколебания. При этом в жидкости распространяется термоакустическая волна, каждая компонента которой образована волнами температурной и акустической моды. При неподвижных границах жидкости суперпозиция прямой и обратной волн акустической моды образуют стоячую волну, поэтому фазовое условие автоколебаний вы-

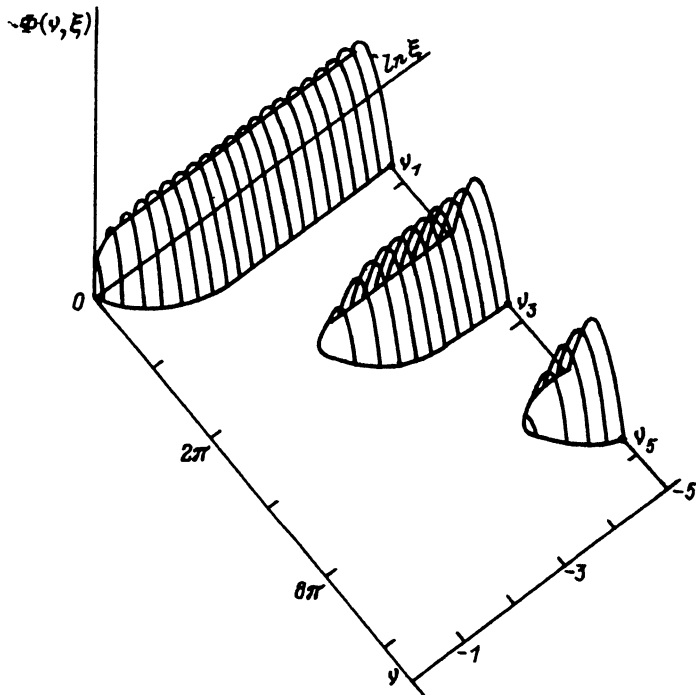


Рис. 2. Рельеф функции $\Phi(\xi, \nu) \geq 0$. Показаны корни ν_i частотного уравнения $\Phi(\xi, \nu) = 0$ при $\xi = 10^{-5}$, $\eta = 0.5$.

полняется только за чет фазового сдвига прямой волны температурной моды в среде и на границе. Получены выражения для расчета одномерных полей температуры, скорости, давления и плотности жидкости при колебаниях малой амплитуды, а также формулы для вычисления параметров автоколебаний. Как оказалось, условия возбуждения автоколебаний в неизотермической жидкости являются менее жесткими, а сама система менее устойчивой, чем в [3], что закономерно для системы с большим числом степеней свободы. Для определения температуропроводности по частоте автоколебаний, как и раньше [4], может использоваться соотношение (26), однако значения ν_1 будут отличаться от полученных в [4] и определяться уравнением (24). Двухчастотный режим автоколебаний может быть использован для определения коэффициента объемного расширения при помощи соотношения

$$\frac{\nu_1 \exp(\eta \nu_1)}{\sin(\eta \nu_1)} \omega_1 \left(1 - \frac{\kappa C_0 g}{2\omega_1^2} \right) = \frac{\nu_2 \exp(\eta \nu_2)}{\sin(\eta \nu_2)} \omega_2 \left(1 - \frac{\kappa C_0 g}{2\omega_2^2} \right), \quad (28)$$

вытекающего из условия $A = A_{c1} = A_{c2}$. Это условие выполняется только в случае мягкого режима возбуждения автоколебаний. К сожалению, вопрос о режиме возбуждения остается открытым, что связано с чрезвычайно громоздкими вычислениями, неизбежными при нелинейном анализе данной задачи.

Список литературы

- [1] Дудников В.Г., Шаблин А.Л. Препринт ИЯФ СО АН СССР. № 87-63. М., 1987. 66 с.
- [2] Рудый А.С., Рудь Н.А. // ПТЭ. 1992. № 3. С. 211-215.
- [3] Рудый А.С., Колесов А.Ю. // ИФЖ. 1992. Т. 62. № 2. С. 309-315.
- [4] Rudi A.S. // Int. J. Thermophys. 1993. Vol. 14. N 1. С. 159-172.
- [5] Лыков А.В. Теплообмен. М.: Энергия, 1978. 490 с.

Ярославский университет

Поступило в Редакцию
29 января 1993 г.